

# EFFET DE LOCALISATION SUR LE TRANSPORT DE LA CHALEUR DANS UNE CHAÎNE HARMONIQUE SOUMISE À UN CHAMP MAGNÉTIQUE ALÉATOIRE

GAËTAN CANE  
LJAD, UCA

JOURNÉES DE PROBABILITÉS 2021

TRAVAIL EN COLLABORATION AVEC J.BHAT (ICTS BANGALORE),  
A.DHAR (ICTS BANGALORE) ET C.BERNARDIN (LJAD).



GAËTAN  
CANE  
LJAD,  
UCA

Loi de  
Fourier

Système

État sta-  
tionnaire

Résultats  
his-  
toriques

## Partie I

# RÉSULTATS HISTORIQUES SUR LA CHAÎNE HARMONIQUE

# Loi de Fourier

GAËTAN  
CANE  
LJAD,  
UCA

1822 → Loi *expérimentale* de Fourier :



$$J(x) = -K \nabla T(x),$$

où  $K$  est la conductivité thermique du système.

Loi de  
Fourier

Système

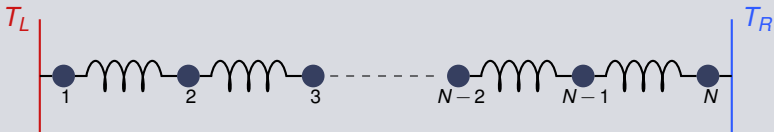
État sta-  
tionnaire

Résultats  
his-  
toriques

# Présentation du système

GAËTAN  
CANE  
LJAD,  
UCA

On considère un système de  $N$  particules,  $i \in \{1, \dots, N\}$ .



Loi de  
Fourier

Système

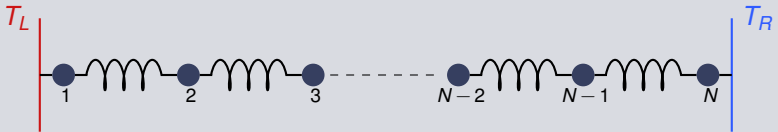
État sta-  
tionnaire

Résultats  
his-  
toriques

# Présentation du système

GAËTAN  
CANE  
LJAD,  
UCA

On considère un système de  $N$  particules,  $i \in \{1, \dots, N\}$ .



Loi de  
Fourier

Système

État sta-  
tionnaire

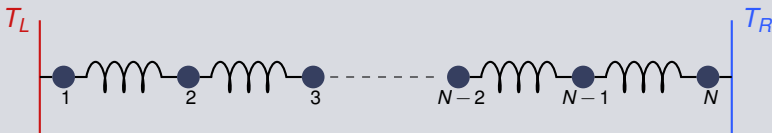
Résultats  
his-  
toriques

La position de la particule  $i$ , notée  $x_i(\cdot)$ , satisfait l'équation différentielle stochastique suivante :

# Présentation du système

GAËTAN  
CANE  
LJAD,  
UCA

On considère un système de  $N$  particules,  $i \in \{1, \dots, N\}$ .



Loi de  
Fourier

Système

État sta-  
tionnaire

Résultats  
his-  
toriques

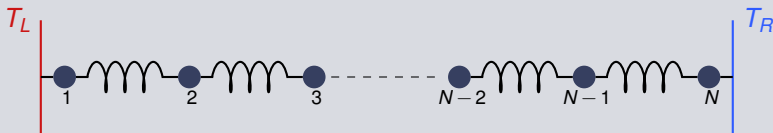
La position de la particule  $i$ , notée  $x_i(\cdot)$ , satisfait l'équation différentielle stochastique suivante :

$$m_i \ddot{x}_i = (x_{i+1} + x_{i-1} - 2x_i)$$

# Présentation du système

GAËTAN  
CANE  
LJAD,  
UCA

On considère un système de  $N$  particules,  $i \in \{1, \dots, N\}$ .



Loi de  
Fourier

Système

État sta-  
tionnaire

Résultats  
his-  
toriques

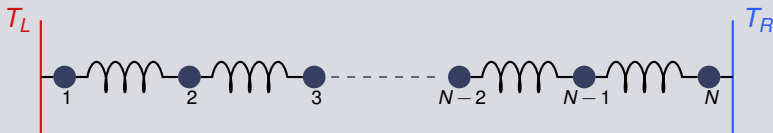
La position de la particule  $i$ , notée  $x_i(\cdot)$ , satisfait l'équation différentielle stochastique suivante :

$$m_i \ddot{x}_i = (x_{i+1} + x_{i-1} - 2x_i) + (\delta_{i,1} T_L + \delta_{i,N} T_R) \sqrt{2m_i} dW_i - (\delta_{i,1} + \delta_{i,N}) \dot{x}_i,$$

# Présentation du système

GAËTAN  
CANE  
LJAD,  
UCA

On considère un système de  $N$  particules,  $i \in \{1, \dots, N\}$ .



Loi de  
Fourier

Système

État sta-  
tionnaire

Résultats  
his-  
toriques

La position de la particule  $i$ , notée  $x_i(\cdot)$ , satisfait l'équation différentielle stochastique suivante :

$$m_i \ddot{x}_i = (x_{i+1} + x_{i-1} - 2x_i) + (\delta_{i,1} T_L + \delta_{i,N} T_R) \sqrt{2m_i} dW_i - (\delta_{i,1} + \delta_{i,N}) \dot{x}_i,$$

avec  $x_0 = x_{N+1} = 0$ .



# État stationnaire

GAËTAN  
CANE  
LJAD,  
UCA

Loi de  
Fourier

Système

État sta-  
tionnaire

Résultats  
his-  
toriques

Pour observer le courant thermique, le système doit atteindre l'état stationnaire.

La loi de Fourier s'écrit alors :

$$\langle J \rangle_s = -K \nabla T,$$

où  $\langle \cdot \rangle_s$  représente l'espérance par rapport à la mesure stationnaire.

# Résultats historiques

GAËTAN  
CANE  
LJAD,  
UCA

Loi de  
Fourier

Système

État sta-  
tionnaire

Résultats  
his-  
toriques

# Résultats historiques

GAËTAN  
CANE  
LJAD,  
UCA

- **1967** → Lieb, Rieder et Lebowitz ont prouvé que :

$$\langle \mathbf{J} \rangle_s \sim T_L - T_R \neq \frac{T_L - T_R}{N},$$

Loi de  
Fourier

Système

État sta-  
tionnaire

Résultats  
his-  
toriques

# Résultats historiques

GAËTAN  
CANE  
LJAD,  
UCA

- **1967** → Lieb, Rieder et Lebowitz ont prouvé que :

$$\langle J \rangle_s \sim T_L - T_R \neq \frac{T_L - T_R}{N}, \quad \rightarrow K \sim N.$$

Loi de  
Fourier

Système

État sta-  
tionnaire

Résultats  
his-  
toriques

# Résultats historiques

GAËTAN  
CANE  
LJAD,  
UCA

- **1967** → Lieb, Rieder et Lebowitz ont prouvé que :

$$\langle J \rangle_s \sim T_L - T_R \neq \frac{T_L - T_R}{N}, \quad \rightarrow K \sim N.$$

Loi de  
Fourier

Système

État sta-  
tionnaire

Résultats  
his-  
toriques

On suppose que  $(m_i)_{i \in \mathbb{N}}$  est une suite de variables aléatoires i.i.d positives.

# Résultats historiques

GAËTAN  
CANE  
LJAD,  
UCA

- **1967** → Lieb, Rieder et Lebowitz ont prouvé que :

$$\langle J \rangle_s \sim T_L - T_R \neq \frac{T_L - T_R}{N}, \quad \rightarrow K \sim N.$$

Loi de  
Fourier

Système

État sta-  
tionnaire

Résultats  
his-  
toriques

On suppose que  $(m_i)_{i \in \mathbb{N}}$  est une suite de variables aléatoires i.i.d positives.

- **1971** → Casher et Lebowitz ont prouvé que :

$$\mathbb{E}[\langle J \rangle_s] \sim \frac{T_L - T_R}{N^{3/2}} \neq \frac{T_L - T_R}{N},$$

# Résultats historiques

GAËTAN  
CANE  
LJAD,  
UCA

- **1967** → Lieb, Rieder et Lebowitz ont prouvé que :

$$\langle J \rangle_s \sim T_L - T_R \neq \frac{T_L - T_R}{N}, \quad \rightarrow K \sim N.$$

Loi de  
Fourier

Système

État sta-  
tionnaire

Résultats  
his-  
toriques

On suppose que  $(m_i)_{i \in \mathbb{N}}$  est une suite de variables aléatoires i.i.d positives.

- **1971** → Casher et Lebowitz ont prouvé que :

$$\mathbb{E}[\langle J \rangle_s] \sim \frac{T_L - T_R}{N^{3/2}} \neq \frac{T_L - T_R}{N}, \quad \rightarrow K \sim N^{-1/2}.$$



GAËTAN  
CANE  
LJAD,  
UCA

Systeme

Courant  
thermique

Phenomene

Processus  
de  
Markov

Theoreme  
sur  $\lambda$

Exposant  
de  
Lyapunov

Theoreme

## Partie II

# ÉTUDE DU SYSTÈME SOUMIS À UN CHAMP MAGNÉTIQUE



# Présentation du système

GAËTAN  
CANE  
LJAD,  
UCA

On considère une chaîne harmonique deux-dimensionnelle soumise à un champ magnétique.

Soit  $(B_i)_{i \in \mathbb{N}} \in \mathbb{R}^{\mathbb{N}}$ .

Système

Courant  
thermique

Phénomène

Processus  
de  
Markov

Théorème  
sur  $\lambda$

Exposant  
de  
Lyapunov

Théorème

# Présentation du système

GAËTAN  
CANE  
LJAD,  
UCA

On considère une chaîne harmonique deux-dimensionnelle soumise à un champ magnétique.

Soit  $(B_i)_{i \in \mathbb{N}} \in \mathbb{R}^{\mathbb{N}}$ .

Système

Courant  
thermique

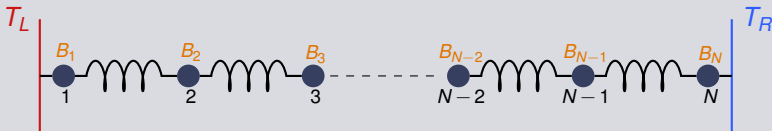
Phénomène

Processus  
de  
Markov

Théorème  
sur  $\lambda$

Exposant  
de  
Lyapunov

Théorème



# Présentation du système

GAËTAN  
CANE  
LJAD,  
UCA

On considère une chaîne harmonique deux-dimensionnelle soumise à un champ magnétique.

Soit  $(B_i)_{i \in \mathbb{N}} \in \mathbb{R}^{\mathbb{N}}$ .

Système

Courant  
thermique

Phénomène

Processus  
de  
Markov

Théorème  
sur  $\lambda$

Exposant  
de  
Lyapunov

Théorème



Une particule est maintenant représentée par un vecteur deux-dimensionnelle  $(x_i, y_i)$ .

On a alors :

# Présentation du système

GAËTAN  
CANE  
LJAD,  
UCA

On considère une chaîne harmonique deux-dimensionnelle soumise à un champ magnétique.

Soit  $(B_i)_{i \in \mathbb{N}} \in \mathbb{R}^{\mathbb{N}}$ .

Système

Courant  
thermique

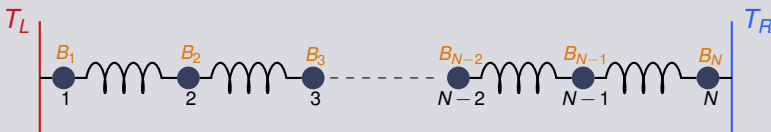
Phénomène

Processus  
de  
Markov

Théorème  
sur  $\lambda$

Exposant  
de  
Lyapunov

Théorème



Une particule est maintenant représentée par un vecteur deux-dimensionnelle  $(x_i, y_i)$ .

On a alors :

$$\ddot{x}_i = (x_{i+1} + x_{i-1} - 2x_i) + (\delta_{i,1} T_L + \delta_{i,N} T_R) \sqrt{2} \mathcal{W}_i^x - (\delta_{i,1} + \delta_{i,N}) \dot{x}_i$$

$$\ddot{y}_i = (y_{i+1} + y_{i-1} - 2y_i) + (\delta_{i,1} T_L + \delta_{i,N} T_R) \sqrt{2} \mathcal{W}_i^y - (\delta_{i,1} + \delta_{i,N}) \dot{y}_i$$

# Présentation du système

GAËTAN  
CANE  
LJAD,  
UCA

On considère une chaîne harmonique deux-dimensionnelle soumise à un champ magnétique.

Soit  $(B_i)_{i \in \mathbb{N}} \in \mathbb{R}^{\mathbb{N}}$ .

Système

Courant  
thermique

Phénomène

Processus  
de  
Markov

Théorème  
sur  $\lambda$

Exposant  
de  
Lyapunov

Théorème



Une particule est maintenant représentée par un vecteur deux-dimensionnelle  $(x_i, y_i)$ .

On a alors :

$$\ddot{x}_i = (x_{i+1} + x_{i-1} - 2x_i) + (\delta_{i,1} T_L + \delta_{i,N} T_R) \sqrt{2} \mathcal{W}_i^x - (\delta_{i,1} + \delta_{i,N}) \dot{x}_i + B_i \dot{y}_i,$$

$$\ddot{y}_i = (y_{i+1} + y_{i-1} - 2y_i) + (\delta_{i,1} T_L + \delta_{i,N} T_R) \sqrt{2} \mathcal{W}_i^y - (\delta_{i,1} + \delta_{i,N}) \dot{y}_i - B_i \dot{x}_i.$$

# Expressions des solutions

En passant en Fourier on peut écrire :

$$\begin{pmatrix} \Pi(\omega) & \mathcal{B}(\omega) \\ -\mathcal{B}(\omega) & \Pi(\omega) \end{pmatrix} \begin{pmatrix} X(\omega) \\ Y(\omega) \end{pmatrix} = \begin{pmatrix} \mathcal{W}^x(\omega) \\ \mathcal{W}^y(\omega) \end{pmatrix}.$$

Pour  $i \in \{1, \dots, N\}$  et  $\omega \in \mathbb{R}$  on a :

GAËTAN  
CANE  
LJAD,  
UCA

Système

Courant  
thermique

Phénomène

Processus  
de  
Markov

Théorème  
sur  $\lambda$

Exposant  
de  
Lyapunov

Théorème

# Expressions des solutions

En passant en Fourier on peut écrire :

$$\begin{pmatrix} \Pi(\omega) & \mathcal{B}(\omega) \\ -\mathcal{B}(\omega) & \Pi(\omega) \end{pmatrix} \begin{pmatrix} X(\omega) \\ Y(\omega) \end{pmatrix} = \begin{pmatrix} \mathcal{W}^x(\omega) \\ \mathcal{W}^y(\omega) \end{pmatrix}.$$

Pour  $i \in \{1, \dots, N\}$  et  $\omega \in \mathbb{R}$  on a :

$$\tilde{x}_i(\omega) = \sum_{j=1}^N [G_1(\omega)]_{ij} \tilde{\mathcal{W}}_j^x(\omega) + \sum_{j=1}^N [G_2(\omega)]_{ij} \tilde{\mathcal{W}}_j^y(\omega),$$

$$\tilde{y}_i(\omega) = -\sum_{j=1}^N [G_2(\omega)]_{ij} \tilde{\mathcal{W}}_j^x(\omega) + \sum_{j=1}^N [G_1(\omega)]_{ij} \tilde{\mathcal{W}}_j^y(\omega),$$

où :

# Expressions des solutions

En passant en Fourier on peut écrire :

$$\begin{pmatrix} \Pi(\omega) & \mathcal{B}(\omega) \\ -\mathcal{B}(\omega) & \Pi(\omega) \end{pmatrix} \begin{pmatrix} X(\omega) \\ Y(\omega) \end{pmatrix} = \begin{pmatrix} \mathcal{W}^x(\omega) \\ \mathcal{W}^y(\omega) \end{pmatrix}.$$

Pour  $i \in \{1, \dots, N\}$  et  $\omega \in \mathbb{R}$  on a :

$$\tilde{x}_i(\omega) = \sum_{j=1}^N [G_1(\omega)]_{ij} \tilde{\mathcal{W}}_j^x(\omega) + \sum_{j=1}^N [G_2(\omega)]_{ij} \tilde{\mathcal{W}}_j^y(\omega),$$

$$\tilde{y}_i(\omega) = -\sum_{j=1}^N [G_2(\omega)]_{ij} \tilde{\mathcal{W}}_j^x(\omega) + \sum_{j=1}^N [G_1(\omega)]_{ij} \tilde{\mathcal{W}}_j^y(\omega),$$

où :

$$G_1(\omega) = \frac{1}{\Pi(\omega) + \mathcal{B}(\omega)[\Pi(\omega)]^{-1}\mathcal{B}(\omega)} \quad \text{et} \quad G_2(\omega) = -G_1(\omega)\mathcal{B}(\omega)[\Pi(\omega)]^{-1}.$$



# Courant thermique

GAËTAN  
CANE  
LJAD,  
UCA

Système

Courant  
thermique

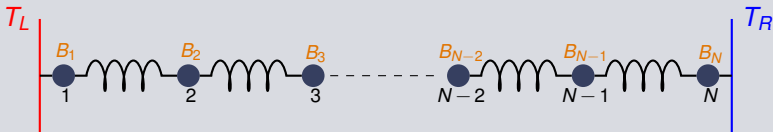
Phénomène

Processus  
de  
Markov

Théorème  
sur  $\lambda$

Exposant  
de  
Lyapunov

Théorème



On note  $\vec{F}_L$  la force exercée sur le premier oscillateur due au réservoir de gauche.

# Courant thermique

GAËTAN  
CANE  
LJAD,  
UCA

Système

Courant  
thermique

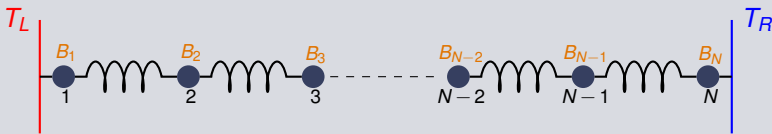
Phénomène

Processus  
de  
Markov

Théorème  
sur  $\lambda$

Exposant  
de  
Lyapunov

Théorème



On note  $\vec{F}_L$  la force exercée sur le premier oscillateur due au réservoir de gauche.

$$\vec{J} = \vec{F}_L \cdot (x_1, y_1)^T.$$

# Courant thermique

GAËTAN  
CANE  
LJAD,  
UCA

Système

Courant  
thermique

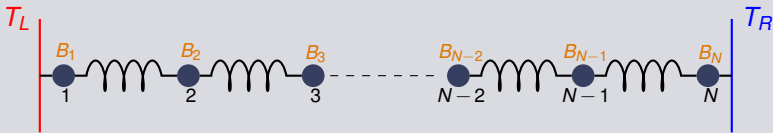
Phénomène

Processus  
de  
Markov

Théorème  
sur  $\lambda$

Exposant  
de  
Lyapunov

Théorème



On note  $\vec{F}_L$  la force exercée sur le premier oscillateur due au réservoir de gauche.

$$\vec{J} = \vec{F}_L \cdot (x_1, y_1)^T.$$

Après calculs on obtient :

$$\langle J \rangle_s = \frac{4(T_L - T_R)}{\pi} \int_0^{+\infty} \mathcal{I}_N(\omega) d\omega.$$

# Graphe de la transmission

GAËTAN  
CANE  
LJAD,  
UCA

Système

Courant  
thermique

Phénomène

Explication  
numérique

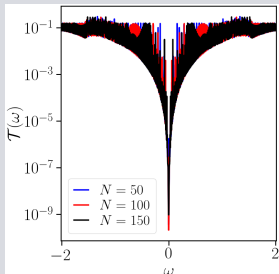
Explication  
théorique

Processus  
de  
Markov

Théorème  
sur  $\lambda$

Exposant  
de  
Lyapunov

Théorème



Transmission pour un champ magnétique  
**constant.**

# Graphe de la transmission

GAËTAN  
CANE  
LJAD,  
UCA

Système

Courant  
thermique

Phénomène

Explication  
numérique

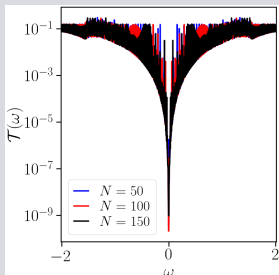
Explication  
théorique

Processus  
de  
Markov

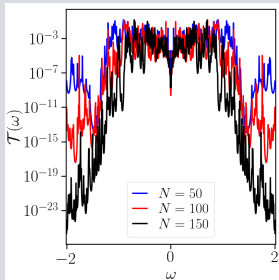
Théorème  
sur  $\lambda$

Exposant  
de  
Lyapunov

Théorème



Transmission pour un champ magnétique  
**constant.**



Transmission pour un champ magnétique  
**aléatoire.**

# Graphe de la transmission

GAËTAN  
CANE  
LJAD,  
UCA

Système

Courant  
thermique

Phénomène

Explication  
numérique

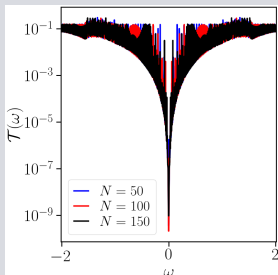
Explication  
théorique

Processus  
de  
Markov

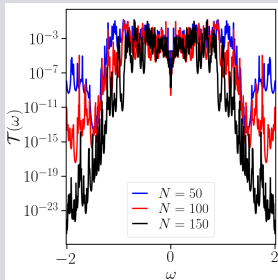
Théorème  
sur  $\lambda$

Exposant  
de  
Lyapunov

Théorème



Transmission pour un champ magnétique  
**constant.**



Transmission pour un champ magnétique  
**aléatoire.**

- L'aléa entraîne la suppression de la transmission.

# Graphe de la transmission

GAËTAN  
CANE  
LJAD,  
UCA

Système

Courant  
thermique

Phénomène

Explication  
numérique

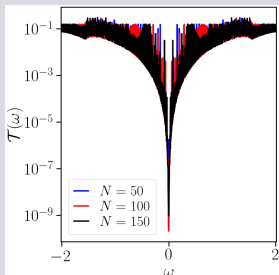
Explication  
théorique

Processus  
de  
Markov

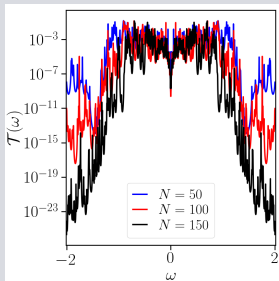
Théorème  
sur  $\lambda$

Exposant  
de  
Lyapunov

Théorème



Transmission pour un champ magnétique  
**constant.**



Transmission pour un champ magnétique  
**aléatoire.**

- L'aléa entraîne la suppression de la transmission.
- $\mathcal{T}$  est une fonction décroissante en  $N$ .

# Graphe de la transmission

GAËTAN  
CANE  
LJAD,  
UCA

Système

Courant  
thermique

Phénomène

Explication  
numérique

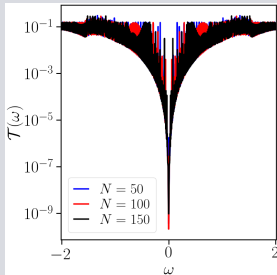
Explication  
théorique

Processus  
de  
Markov

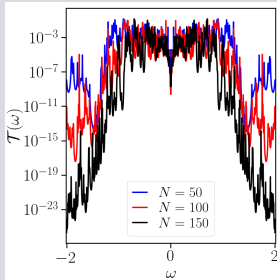
Théorème  
sur  $\lambda$

Exposant  
de  
Lyapunov

Théorème



Transmission pour un champ magnétique  
**constant.**



Transmission pour un champ magnétique  
**aléatoire.**

- L'aléa entraîne la suppression de la transmission.
- $\mathcal{T}$  est une fonction décroissante en  $N$ .
- $\mathcal{T}$  est plus important près de  $\omega = 0$ .



# Explication théorique du phénomène - 1

On a :

$$\mathcal{T}_N(\omega) = \frac{\omega^2}{|f_N^+ + i\omega(g_N^+ + f_{N-1}^+) - \omega^2 g_{N-1}^+|^2} + \frac{\omega^2}{|f_N^- + i\omega(g_N^- + f_{N-1}^-) - \omega^2 g_{N-1}^-|^2}.$$

GAËTAN  
CANE  
LJAD,  
UCA

Système

Courant  
thermique

Phénomène

Explication  
numérique

**Explication  
théorique**

Processus  
de  
Markov

Théorème  
sur  $\lambda$

Exposant  
de  
Lyapunov

Théorème

# Explication théorique du phénomène - 1

On a :

$$\mathcal{T}_N(\omega) = \frac{\omega^2}{|f_N^+ + i\omega(g_N^+ + f_{N-1}^+) - \omega^2 g_{N-1}^+|^2} + \frac{\omega^2}{|f_N^- + i\omega(g_N^- + f_{N-1}^-) - \omega^2 g_{N-1}^-|^2}.$$

où  $(f_n^-)_{n \in \mathbb{N}}$  et  $(g_n^-)_{n \in \mathbb{N}}$  sont des processus stochastiques définis par :

$$f_{n+1}^- = (2 - \omega^2 - \omega B_{n+1})f_n^- - f_{n-1}^-, \quad f_0^- = 1, \quad f_1^- = c_1 - \omega^2 - \omega B_1,$$
$$g_{n+1}^- = (2 - \omega^2 - \omega B_{n+1})g_n^- - g_{n-1}^-, \quad g_0^- = 0, \quad g_1^- = 1.$$

GAËTAN  
CANE  
LJAD,  
UCA

Système

Courant  
thermique

Phénomène

Explication  
numérique

Explication  
théorique

Processus  
de  
Markov

Théorème  
sur  $\lambda$

Exposant  
de  
Lyapunov

Théorème

# Explication théorique du phénomène - 1

On a :

$$\mathcal{T}_N(\omega) = \frac{\omega^2}{|f_N^+ + i\omega(g_N^+ + f_{N-1}^+) - \omega^2 g_{N-1}^+|^2} + \frac{\omega^2}{|f_N^- + i\omega(g_N^- + f_{N-1}^-) - \omega^2 g_{N-1}^-|^2}.$$

où  $(f_n^-)_{n \in \mathbb{N}}$  et  $(g_n^-)_{n \in \mathbb{N}}$  sont des processus stochastiques définis par :

$$\begin{aligned} f_{n+1}^- &= (2 - \omega^2 - \omega B_{n+1})f_n^- - f_{n-1}^-, & f_0^- &= 1, & f_1^- &= c_1 - \omega^2 - \omega B_1, \\ g_{n+1}^- &= (2 - \omega^2 - \omega B_{n+1})g_n^- - g_{n-1}^-, & g_0^- &= 0, & g_1^- &= 1. \end{aligned}$$

Soit  $X_n = (f_{n+1}^-, f_n^-)^\top$ .

GAËTAN  
CANE  
LJAD,  
UCA

Système

Courant  
thermique

Phénomène

Explication  
numérique

Explication  
théorique

Processus  
de  
Markov

Théorème  
sur  $\lambda$

Exposant  
de  
Lyapunov

Théorème

# Explication théorique du phénomène - 1

On a :

$$\mathcal{T}_N(\omega) = \frac{\omega^2}{|f_N^+ + i\omega(g_N^+ + f_{N-1}^+) - \omega^2 g_{N-1}^+|^2} + \frac{\omega^2}{|f_N^- + i\omega(g_N^- + f_{N-1}^-) - \omega^2 g_{N-1}^-|^2}.$$

où  $(f_n^-)_{n \in \mathbb{N}}$  et  $(g_n^-)_{n \in \mathbb{N}}$  sont des processus stochastiques définis par :

$$\begin{aligned} f_{n+1}^- &= (2 - \omega^2 - \omega B_{n+1})f_n^- - f_{n-1}^-, & f_0^- &= 1, & f_1^- &= c_1 - \omega^2 - \omega B_1, \\ g_{n+1}^- &= (2 - \omega^2 - \omega B_{n+1})g_n^- - g_{n-1}^-, & g_0^- &= 0, & g_1^- &= 1. \end{aligned}$$

Soit  $X_n = (f_{n+1}^-, f_n^-)^\top$ .

Alors  $(X_n)_{n \in \mathbb{N}}$  est une chaîne de Markov vérifiant :

$$\forall n \in \mathbb{N}, \quad X_{n+1} = \begin{pmatrix} 2 - \omega^2 - \omega B_{n+1} & -1 \\ 1 & 0 \end{pmatrix} X_n.$$

# Explication théorique du phénomène - 2

GAËTAN  
CANE  
LJAD,  
UCA

Par le théorème de Furstenberg on a :

$$\mathbb{E} \left[ \left\| \prod_{n=0}^N \begin{pmatrix} 2 - \omega^2 - \omega B_{n+1} & -1 \\ 1 & 0 \end{pmatrix} \right\| \right] \sim \exp(N\lambda(\omega)),$$

où  $\lambda(\cdot)$  est l'exposant de Lyapunov associé à  $(X_n)_{n \in \mathbb{N}}$ .

Système

Courant  
thermique

Phénomène

Explication  
numérique

Explication  
théorique

Processus  
de  
Markov

Théorème  
sur  $\lambda$

Exposant  
de  
Lyapunov

Théorème

# Explication théorique du phénomène - 2

GAËTAN  
CANE  
LJAD,  
UCA

Par le théorème de Furstenberg on a :

$$\mathbb{E} \left[ \left\| \prod_{n=0}^N \begin{pmatrix} 2 - \omega^2 - \omega B_{n+1} & -1 \\ 1 & 0 \end{pmatrix} \right\| \right] \sim \exp(N\lambda(\omega)),$$

Système

Courant  
thermique

Phénomène

Explication  
numérique

Explication  
théorique

Processus  
de  
Markov

Théorème  
sur  $\lambda$

Exposant  
de  
Lyapunov

Théorème

où  $\lambda(\cdot)$  est l'exposant de Lyapunov associé à  $(X_n)_{n \in \mathbb{N}}$ .

$\lambda$  vérifie les propriétés suivantes :

- $\lambda(\omega) > 0$  pour  $\omega > 0$ .
- $\lim_{\omega \rightarrow 0} \lambda(\omega) = 0$ .

# Explication théorique du phénomène - 2

Par le théorème de Furstenberg on a :

$$\mathbb{E} \left[ \left\| \prod_{n=0}^N \begin{pmatrix} 2 - \omega^2 - \omega B_{n+1} & -1 \\ 1 & 0 \end{pmatrix} \right\| \right] \sim \exp(N\lambda(\omega)),$$

où  $\lambda(\cdot)$  est l'exposant de Lyapunov associé à  $(X_n)_{n \in \mathbb{N}}$ .

$\lambda$  vérifie les propriétés suivantes :

- $\lambda(\omega) > 0$  pour  $\omega > 0$ .
- $\lim_{\omega \rightarrow 0} \lambda(\omega) = 0$ .

Par conséquent on a :

$$\mathbb{E}[\mathcal{T}_N(\omega)] \sim \exp(-N\lambda(\omega)).$$

# Explication théorique du phénomène - 2

GAËTAN  
CANE  
LJAD,  
UCA

Par le théorème de Furstenberg on a :

$$\mathbb{E} \left[ \left\| \prod_{n=0}^N \begin{pmatrix} 2 - \omega^2 - \omega B_{n+1} & -1 \\ 1 & 0 \end{pmatrix} \right\| \right] \sim \exp(N\lambda(\omega)),$$

où  $\lambda(\cdot)$  est l'exposant de Lyapunov associé à  $(X_n)_{n \in \mathbb{N}}$ .

$\lambda$  vérifie les propriétés suivantes :

- $\lambda(\omega) > 0$  pour  $\omega > 0$ .
- $\lim_{\omega \rightarrow 0} \lambda(\omega) = 0$ .

Par conséquent on a :

$$\mathbb{E}[\mathcal{T}_N(\omega)] \sim \exp(-N\lambda(\omega)).$$

Décroissance exponentielle de la transmission pour  $\omega < \lambda^{-1}(N)$ .

Système

Courant  
thermique

Phénomène

Explication  
numérique

Explication  
théorique

Processus  
de  
Markov

Théorème  
sur  $\lambda$

Exposant  
de  
Lyapunov

Théorème



# Explication théorique du phénomène - 3

On obtient alors :

$$\mathbb{E}[\langle J \rangle_s] = \frac{4(T_L - T_R)}{\pi} \int_0^{\lambda^{-1}(N)} \mathbb{E}[\mathcal{T}_N(\omega)] d\omega + \frac{4(T_L - T_R)}{\pi} \int_{\lambda^{-1}(N)}^{+\infty} \mathbb{E}[\mathcal{T}_N(\omega)] d\omega$$

GAËTAN  
CANE  
LJAD,  
UCA

Système

Courant  
thermique

Phénomène

Explication  
numérique

Explication  
théorique

Processus  
de  
Markov

Théorème  
sur  $\lambda$

Exposant  
de  
Lyapunov

Théorème

# Explication théorique du phénomène - 3

On obtient alors :

$$\begin{aligned}\mathbb{E}[\langle J \rangle_s] &= \frac{4(T_L - T_R)}{\pi} \int_0^{\lambda^{-1}(N)} \mathbb{E}[\mathcal{T}_N(\omega)] d\omega \\ &+ \frac{4(T_L - T_R)}{\pi} \int_{\lambda^{-1}(N)}^{+\infty} \mathbb{E}[\mathcal{T}_N(\omega)] d\omega \\ &= \frac{4(T_L - T_R)}{\pi} \int_0^{\lambda^{-1}(N)} \mathbb{E}[\mathcal{T}_N(\omega)] d\omega \\ &+ \frac{4(T_L - T_R)}{\pi} \int_{\lambda^{-1}(N)}^{+\infty} \exp(-N\lambda(\omega)) d\omega\end{aligned}$$

GAËTAN  
CANE  
LJAD,  
UCA

Système

Courant  
thermique

Phénomène

Explication  
numérique

Explication  
théorique

Processus  
de  
Markov

Théorème  
sur  $\lambda$

Exposant  
de  
Lyapunov

Théorème

# Explication théorique du phénomène - 3

On obtient alors :

$$\begin{aligned}\mathbb{E}[\langle J \rangle_s] &= \frac{4(T_L - T_R)}{\pi} \int_0^{\lambda^{-1}(N)} \mathbb{E}[\mathcal{T}_N(\omega)] d\omega \\ &+ \frac{4(T_L - T_R)}{\pi} \int_{\lambda^{-1}(N)}^{+\infty} \mathbb{E}[\mathcal{T}_N(\omega)] d\omega \\ &= \frac{4(T_L - T_R)}{\pi} \int_0^{\lambda^{-1}(N)} \mathbb{E}[\mathcal{T}_N(\omega)] d\omega \\ &+ \frac{4(T_L - T_R)}{\pi} \int_{\lambda^{-1}(N)}^{+\infty} \exp(-N\lambda(\omega)) d\omega \\ &\sim \frac{4(T_L - T_R)}{\pi} \int_0^{\lambda^{-1}(N)} \mathcal{T}_\infty(\omega) d\omega,\end{aligned}$$

GAËTAN  
CANE  
LJAD,  
UCA

Système

Courant  
thermique

Phénomène

Explication  
numérique

Explication  
théorique

Processus  
de  
Markov

Théorème  
sur  $\lambda$

Exposant  
de  
Lyapunov

Théorème

# Explication théorique du phénomène - 3

On obtient alors :

$$\begin{aligned}\mathbb{E}[\langle J \rangle_s] &= \frac{4(T_L - T_R)}{\pi} \int_0^{\lambda^{-1}(N)} \mathbb{E}[\mathcal{T}_N(\omega)] d\omega \\ &+ \frac{4(T_L - T_R)}{\pi} \int_{\lambda^{-1}(N)}^{+\infty} \mathbb{E}[\mathcal{T}_N(\omega)] d\omega \\ &= \frac{4(T_L - T_R)}{\pi} \int_0^{\lambda^{-1}(N)} \mathbb{E}[\mathcal{T}_N(\omega)] d\omega \\ &+ \frac{4(T_L - T_R)}{\pi} \int_{\lambda^{-1}(N)}^{+\infty} \exp(-N\lambda(\omega)) d\omega \\ &\sim \frac{4(T_L - T_R)}{\pi} \int_0^{\lambda^{-1}(N)} \mathcal{T}_\infty(\omega) d\omega,\end{aligned}$$

où  $\mathcal{T}_\infty$  représente la transmission pour une chaîne harmonique soumise à un champ magnétique d'intensité  $\langle B \rangle$ .

GAËTAN  
CANE  
LJAD,  
UCA

Système

Courant  
thermique

Phénomène

Explication  
numérique

Explication  
théorique

Processus  
de  
Markov

Théorème  
sur  $\lambda$

Exposant  
de  
Lyapunov

Théorème

# Explication théorique du phénomène - 4

GAËTAN  
CANE  
LJAD,  
UCA

Système

On a donc :

Courant  
thermique

Phénomène

Explication  
numérique

Explication  
théorique

Processus  
de  
Markov

Théorème  
sur  $\lambda$

Exposant  
de  
Lyapunov

Théorème

$$\mathbb{E}[\langle J \rangle_s] \sim \frac{4(T_L - T_R)}{\pi} \int_0^{\lambda^{-1}(N)} \mathcal{T}_\infty(\omega) d\omega.$$

# Explication théorique du phénomène - 4

GAËTAN  
CANE  
LJAD,  
UCA

Système

On a donc :

Courant  
thermique

$$\mathbb{E}[\langle J \rangle_s] \sim \frac{4(T_L - T_R)}{\pi} \int_0^{\lambda^{-1}(N)} \mathcal{T}_\infty(\omega) d\omega.$$

Phénomène

Explication  
numérique

Explication  
théorique

On peut montrer que :

Processus  
de  
Markov

- Si  $\langle B \rangle \neq 0$ , alors  $\mathcal{T}_\infty(\omega) \sim \omega^{3/2}$ .

Théorème  
sur  $\lambda$

Exposant  
de  
Lyapunov

Théorème

# Explication théorique du phénomène - 4

GAËTAN  
CANE  
LJAD,  
UCA

Système

On a donc :

Courant  
thermique

$$\mathbb{E}[\langle J \rangle_s] \sim \frac{4(T_L - T_R)}{\pi} \int_0^{\lambda^{-1}(N)} \mathcal{T}_\infty(\omega) d\omega.$$

Phénomène

Explication  
numérique

Explication  
théorique

On peut montrer que :

Processus  
de  
Markov

- Si  $\langle B \rangle \neq 0$ , alors  $\mathcal{T}_\infty(\omega) \sim \omega^{3/2}$ .
- Si  $\langle B \rangle = 0$ , alors  $\mathcal{T}_\infty(\omega) \sim \omega^2$ .

Théorème  
sur  $\lambda$

Exposant  
de  
Lyapunov

Théorème

# Introduction d'un processus de Markov - 1

GAËTAN  
CANE  
LJAD,  
UCA

On rappelle que :

$$\forall n \in \mathbb{N}, \quad f_{n+1}^- = (2 - \omega^2 - \omega B_{n+1})f_n^- - f_{n-1}^-.$$

Système

Courant  
thermique

Phénomène

Processus  
de  
Markov

Théorème  
sur  $\lambda$

Exposant  
de  
Lyapunov

Théorème



# Introduction d'un processus de Markov - 1

GAËTAN  
CANE  
LJAD,  
UCA

On rappelle que :

$$\forall n \in \mathbb{N}, \quad f_{n+1}^- = (2 - \omega^2 - \omega B_{n+1})f_n^- - f_{n-1}^-.$$

Soit :

$$f_{n+1}^- + f_{n-1}^- - 2f_n^- = -\omega \langle B \rangle f_n^- - \omega (B_{n+1} - \langle B \rangle) f_n^- + O(\omega^2).$$

Système

Courant  
thermique

Phénomène

Processus  
de  
Markov

Théorème  
sur  $\lambda$

Exposant  
de  
Lyapunov

Théorème

# Introduction d'un processus de Markov - 1

GAËTAN  
CANE  
LJAD,  
UCA

On rappelle que :

$$\forall n \in \mathbb{N}, \quad f_{n+1}^- = (2 - \omega^2 - \omega B_{n+1})f_n^- - f_{n-1}^-.$$

Soit :

$$f_{n+1}^- + f_{n-1}^- - 2f_n^- = -\omega \langle B \rangle f_n^- - \omega (B_{n+1} - \langle B \rangle) f_n^- + O(\omega^2).$$

En passant à la limite continue on obtient :

$$\forall t \geq 0, \quad \ddot{f}(t) = -\omega \langle B \rangle f(t) - \omega \sigma \eta_t f(t),$$

où  $\eta_t = B(t) - \langle B \rangle$  et  $\sigma = \langle B^2 \rangle - \langle B \rangle^2$ .

Système

Courant  
thermique

Phénomène

Processus  
de  
Markov

Théorème  
sur  $\lambda$

Exposant  
de  
Lyapunov

Théorème

# Introduction d'un processus de Markov - 2

GAËTAN  
CANE  
LJAD,  
UCA

$$\forall t \geq 0, \quad \ddot{f}(t) = -\omega \langle B \rangle f(t) - \omega \sigma \eta_t f(t),$$

Système

Courant  
thermique

Phénomène

**Processus  
de  
Markov**

Théorème  
sur  $\lambda$

Exposant  
de  
Lyapunov

Théorème

# Introduction d'un processus de Markov - 2

GAËTAN  
CANE  
LJAD,  
UCA

$$\forall t \geq 0, \quad \ddot{f}(t) = -\omega \langle B \rangle f(t) - \omega \sigma \eta_t f(t),$$

Système

On peut alors écrire que :

Courant  
thermique

Phénomène

Processus  
de  
Markov

$$\frac{d}{dt} \begin{pmatrix} f(t) \\ \dot{f}(t) \end{pmatrix} = \begin{pmatrix} 0 & 1 \\ \omega \langle B \rangle & 0 \end{pmatrix} \begin{pmatrix} f(t) \\ \dot{f}(t) \end{pmatrix} + \omega \eta_t \begin{pmatrix} 0 & 0 \\ -1 & 0 \end{pmatrix} \begin{pmatrix} f(t) \\ \dot{f}(t) \end{pmatrix}.$$

Théorème  
sur  $\lambda$

Exposant  
de  
Lyapunov

Théorème

# Introduction d'un processus de Markov - 2

GAËTAN  
CANE  
LJAD,  
UCA

$$\forall t \geq 0, \quad \ddot{f}(t) = -\omega \langle B \rangle f(t) - \omega \sigma \eta_t f(t),$$

Système

On peut alors écrire que :

Courant  
thermique

Phénomène

Processus  
de  
Markov

$$\frac{d}{dt} \begin{pmatrix} f(t) \\ \dot{f}(t) \end{pmatrix} = \begin{pmatrix} 0 & 1 \\ \omega \langle B \rangle & 0 \end{pmatrix} \begin{pmatrix} f(t) \\ \dot{f}(t) \end{pmatrix} + \omega \eta_t \begin{pmatrix} 0 & 0 \\ -1 & 0 \end{pmatrix} \begin{pmatrix} f(t) \\ \dot{f}(t) \end{pmatrix}.$$

Théorème  
sur  $\lambda$

C'est une équation sous la forme :

Exposant  
de  
Lyapunov

Théorème

$$\forall t \geq 0, \quad \dot{z}(t) = A_0 z(t) + \omega \eta_t A_1 z(t).$$

# Exposant de Lyapunov pour une famille d'EDS

GAËTAN  
CANE  
LJAD,  
UCA

## Théorème (Wihstutz en 1999)

Soit  $c \in \mathbb{R}$  et  $z$  un processus stochastique. On considère l'équation différentielle stochastique suivante :

$$\forall t \geq 0, \quad \dot{z}(t) = A_0 z(t) + \sigma \varepsilon_t A_1 z(t),$$

avec :

$$A_0 = \begin{pmatrix} 0 & 1 \\ -c & 0 \end{pmatrix} \quad A_1 = \begin{pmatrix} 0 & 0 \\ -1 & 0 \end{pmatrix}.$$

Système

Courant  
thermique

Phénomène

Processus  
de  
Markov

Théorème  
sur  $\lambda$

Exposant  
de  
Lyapunov

Théorème

# Exposant de Lyapunov pour une famille d'EDS

GAËTAN  
CANE  
LJAD,  
UCA

## Théorème (Wihstutz en 1999)

Soit  $c \in \mathbb{R}$  et  $z$  un processus stochastique. On considère l'équation différentielle stochastique suivante :

$$\forall t \geq 0, \quad \dot{z}(t) = A_0 z(t) + \sigma \varepsilon \eta_t A_1 z(t),$$

avec :

$$A_0 = \begin{pmatrix} 0 & 1 \\ -c & 0 \end{pmatrix} \quad A_1 = \begin{pmatrix} 0 & 0 \\ -1 & 0 \end{pmatrix}.$$

Alors :

- Si  $c > 0$ ,  $\lambda(\varepsilon) = \frac{\sigma^2 \varepsilon^2}{8c} + O(\varepsilon^6)$ .
- Si  $c < 0$ ,  $\lambda(\varepsilon) = \sqrt{-c} + O(\varepsilon^2)$ .
- Si  $c = 0$ ,  $\lambda(\varepsilon) = \hat{\lambda} \varepsilon^{2/3} + O(\varepsilon)$ .

où  $\lambda$  est l'exposant de Lyapunov associé au processus  $z$ .

Système

Courant  
thermique

Phénomène

Processus  
de  
Markov

Théorème  
sur  $\lambda$

Exposant  
de  
Lyapunov

Théorème

# Exposant de Lyapunov pour le processus de Markov

Dans notre cas on a  $\varepsilon = \omega$  et  $c = \omega \langle B \rangle$ .

GAËTAN  
CANE  
LJAD,  
UCA

Systeme

Courant  
thermique

Phenomenon

Processus  
de  
Markov

Theorem  
sur  $\lambda$

**Exposant  
de  
Lyapunov**

Theorem



# Exposant de Lyapunov pour le processus de Markov

Dans notre cas on a  $\varepsilon = \omega$  et  $c = \omega \langle B \rangle$ .

- Pour  $\langle B \rangle = 0$  on obtient  $\lambda(\omega) = \hat{\lambda} \omega^{2/3}$ .

GAËTAN  
CANE  
LJAD,  
UCA

Système

Courant  
thermique

Phénomène

Processus  
de  
Markov

Théorème  
sur  $\lambda$

Exposant  
de  
Lyapunov

Théorème

# Exposant de Lyapunov pour le processus de Markov

Dans notre cas on a  $\varepsilon = \omega$  et  $c = \omega \langle B \rangle$ .

- Pour  $\langle B \rangle = 0$  on obtient  $\lambda(\omega) = \hat{\lambda} \omega^{2/3}$ .

Pour  $\langle B \rangle \neq 0$  on effectue le changement de temps :

$$\tilde{t} = \sqrt{\omega t},$$

GAËTAN  
CANE  
LJAD,  
UCA

Système

Courant  
thermique

Phénomène

Processus  
de  
Markov

Théorème  
sur  $\lambda$

Exposant  
de  
Lyapunov

Théorème

# Exposant de Lyapunov pour le processus de Markov

Dans notre cas on a  $\varepsilon = \omega$  et  $c = \omega \langle B \rangle$ .

- Pour  $\langle B \rangle = 0$  on obtient  $\lambda(\omega) = \hat{\lambda} \omega^{2/3}$ .

Pour  $\langle B \rangle \neq 0$  on effectue le changement de temps :

$$\tilde{t} = \sqrt{\omega} t,$$

ainsi :

$$\lambda = \tilde{\lambda} \sqrt{\omega},$$

où  $\tilde{\lambda}$  est l'exposant de Lyapunov associé à :

$$\forall t \geq 0, \quad \dot{\tilde{z}}(t) = \begin{pmatrix} 0 & 1 \\ -\langle B \rangle & 0 \end{pmatrix} \tilde{z}(t) + \sigma \omega^{1/4} \xi_t \begin{pmatrix} 0 & 0 \\ -1 & 0 \end{pmatrix} \tilde{z}(t).$$

# Exposant de Lyapunov pour le processus de Markov

Dans notre cas on a  $\varepsilon = \omega$  et  $c = \omega \langle B \rangle$ .

- Pour  $\langle B \rangle = 0$  on obtient  $\lambda(\omega) = \hat{\lambda} \omega^{2/3}$ .

Pour  $\langle B \rangle \neq 0$  on effectue le changement de temps :

$$\tilde{t} = \sqrt{\omega} t,$$

ainsi :

$$\lambda = \tilde{\lambda} \sqrt{\omega},$$

où  $\tilde{\lambda}$  est l'exposant de Lyapunov associé à :

$$\forall t \geq 0, \quad \dot{\tilde{z}}(t) = \begin{pmatrix} 0 & 1 \\ -\langle B \rangle & 0 \end{pmatrix} \tilde{z}(t) + \sigma \omega^{1/4} \xi_t \begin{pmatrix} 0 & 0 \\ -1 & 0 \end{pmatrix} \tilde{z}(t).$$

- Pour  $\langle B \rangle > 0$ ,  $\lambda(\omega) = \frac{\sigma^2 \omega}{8 \langle B \rangle} + O(\omega^{5/4})$ .
- Pour  $\langle B \rangle < 0$ ,  $\lambda(\omega) = \sqrt{|\langle B \rangle|} \omega^{1/2} + O(\omega^{5/2})$ .

# Résultat sur la taille du courant

GAËTAN  
CANE  
LJAD,  
UCA

Système

Courant  
thermique

Phénomène

Processus  
de  
Markov

Théorème  
sur  $\lambda$

Exposant  
de  
Lyapunov

Théorème

## Résultat principal

Soit  $(B_i)_{i \in \mathbb{N}}$  une suite de variables aléatoires i.i.d :

# Résultat sur la taille du courant

GAËTAN  
CANE  
LJAD,  
UCA

Système

Courant  
thermique

Phénomène

Processus  
de  
Markov

Théorème  
sur  $\lambda$

Exposant  
de  
Lyapunov

Théorème

## Résultat principal

Soit  $(B_i)_{i \in \mathbb{N}}$  une suite de variables aléatoires i.i.d :

- Si  $\mathbb{E}[B_1] \neq 0$  alors  $\mathbb{E}[\langle J \rangle_s] \sim N^{-5/2}$ ,

# Résultat sur la taille du courant

GAËTAN  
CANE  
LJAD,  
UCA

Système

Courant  
thermique

Phénomène

Processus  
de  
Markov

Théorème  
sur  $\lambda$

Exposant  
de  
Lyapunov

Théorème

## Résultat principal

Soit  $(B_i)_{i \in \mathbb{N}}$  une suite de variables aléatoires i.i.d :

- Si  $\mathbb{E}[B_1] \neq 0$  alors  $\mathbb{E}[\langle J \rangle_s] \sim N^{-5/2}$ ,  $\rightarrow K \sim N^{-3/2}$ .

# Résultat sur la taille du courant

GAËTAN  
CANE  
LJAD,  
UCA

Système

Courant  
thermique

Phénomène

Processus  
de  
Markov

Théorème  
sur  $\lambda$

Exposant  
de  
Lyapunov

Théorème

## Résultat principal

Soit  $(B_i)_{i \in \mathbb{N}}$  une suite de variables aléatoires i.i.d :

- Si  $\mathbb{E}[B_1] \neq 0$  alors  $\mathbb{E}[\langle J \rangle_s] \sim N^{-5/2}$ ,  $\rightarrow K \sim N^{-3/2}$ .
- Si  $\mathbb{E}[B_1] = 0$  alors  $\mathbb{E}[\langle J \rangle_s] \sim N^{-9/2}$ ,



# Résultat sur la taille du courant

GAËTAN  
CANE  
LJAD,  
UCA

Système

Courant  
thermique

Phénomène

Processus  
de  
Markov

Théorème  
sur  $\lambda$

Exposant  
de  
Lyapunov

Théorème

## Résultat principal

Soit  $(B_i)_{i \in \mathbb{N}}$  une suite de variables aléatoires i.i.d :

- Si  $\mathbb{E}[B_1] \neq 0$  alors  $\mathbb{E}[\langle J \rangle_s] \sim N^{-5/2}$ ,  $\rightarrow K \sim N^{-3/2}$ .
- Si  $\mathbb{E}[B_1] = 0$  alors  $\mathbb{E}[\langle J \rangle_s] \sim N^{-9/2}$ ,  $\rightarrow K \sim N^{-7/2}$ .

# Bibliographie

GAËTAN  
CANE  
LJAD,  
UCA

Système

Courant  
thermique

Phénomène

Processus  
de  
Markov

Théorème  
sur  $\lambda$

Exposant  
de  
Lyapunov

Théorème



RIEDER Z, LEBOWITZ J. L, LIEB E. (1967) Properties of a Harmonic Crystal in a Stationary Nonequilibrium State. In: Nachtergaele B., Solovej J.P., Yngvason J. (eds) *Statistical Mechanics*. Springer, Berlin, Heidelberg.



RUBIN R, GREER W. (1971) Abnormal Lattice Thermal Conductivity of a One-Dimensional, Harmonic, Isotopically Disordered Crystal. *Journal of Mathematical Physics*. 12. 1686-1701. 10.1063/1.1665793.



CASHER A, LEBOWITZ J. L. (1971) Heat flow in regular and disordered harmonic chains. In: *Journal of Mathematical Physics*. Vol. 12, No. 8. pp. 1701-1711.



WIHSTUTZ V. (1999) Perturbation Methods for Lyapunov Exponents. In: *Stochastic Dynamics*. Springer, New York, NY.